

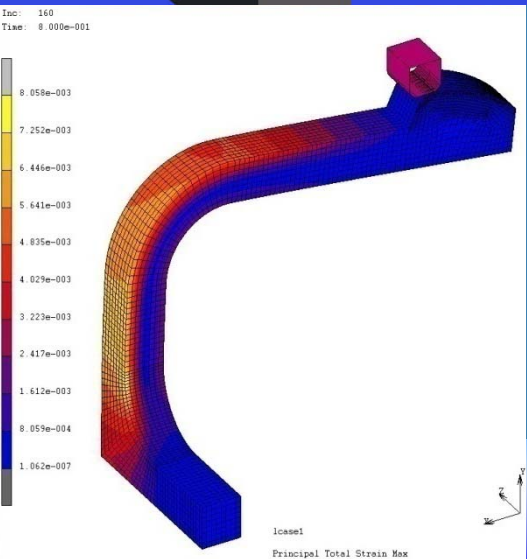
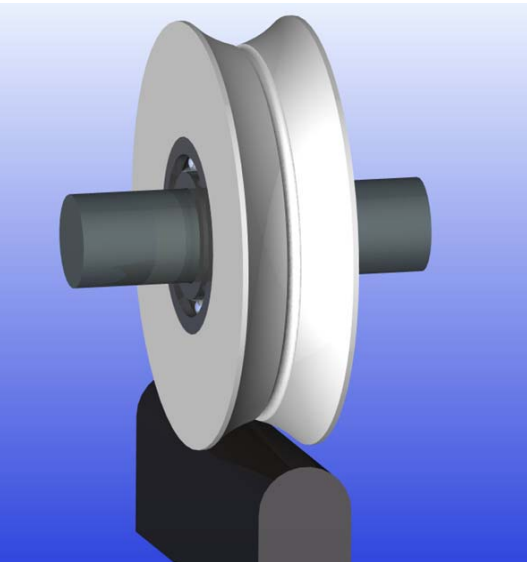
Neue Beiträge zur Auslegung von Kunststoffbauteilen

Werkstoffmechanik, Rollen, Schnappverbindungen

4. Rapperswiler Kunststoff-Forum, 3. September 2009
Prof. Dipl.-Ing. Johannes Kunz, Institutspartner

Inhalt

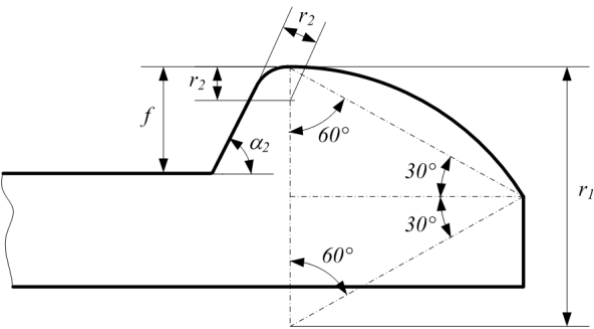
1. Motivation und Zielsetzung
2. Methodik
3. Werkstoffmechanik:
 - Wärmespannungen berechnen bzw. mit Ein-Punkt-Daten abschätzen
4. Kontaktmechanik von Kunststoff-Laufrollen
 - Konkav profilierte Laufmantelrollen
 - Verkanten zylindrischer Laufmantelrollen
 - Rollwiderstand von Kunststoff-Laufrollen
5. Schnappverbindungen
 - Fügeverhalten gekröpfter Schnapphaken
6. Schlussbetrachtungen



1. Motivation und Zielsetzung

Motivation:

- ingenieurtechnisch-wissenschaftliche Neugier
- Aufbau von Know-how für IWK und Nutzung bei Projekten
- Unterstützung der Praxis durch Publikationen

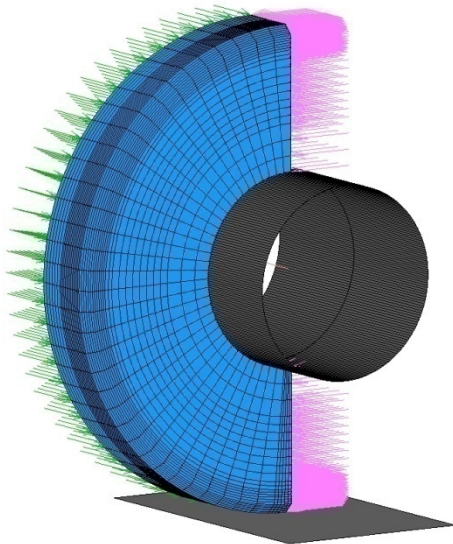


Ziele:

- Erweiterung bestehender Grundlagen
- Schaffung neuer Grundlagen

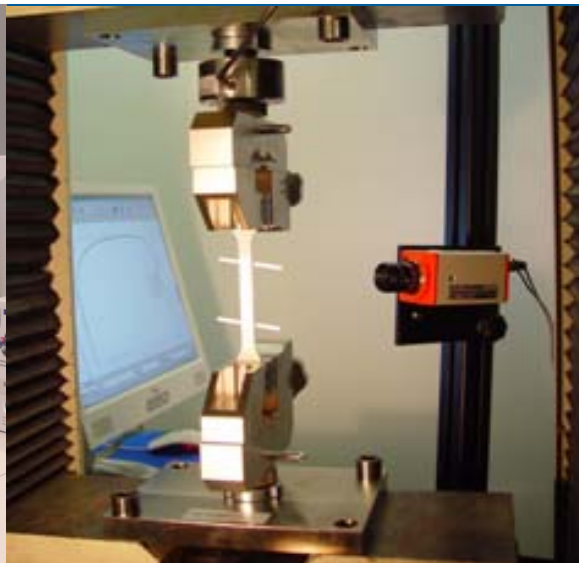
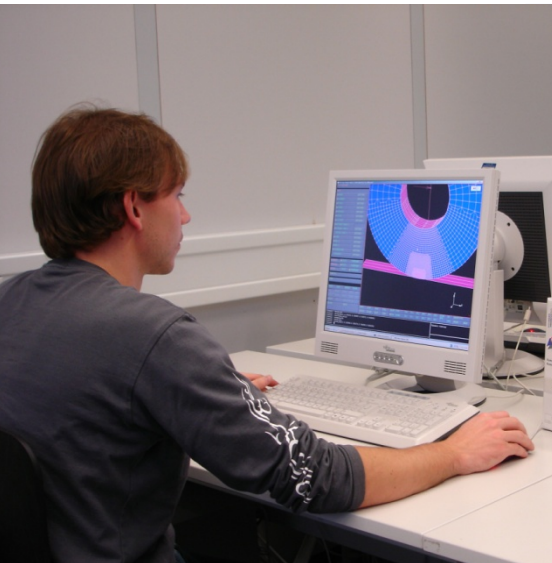
Anvisierte Ergebnisse:

- Theorien und Formeln für die Berechnung
- Empfehlungen für die Gestaltung



2. Methodik

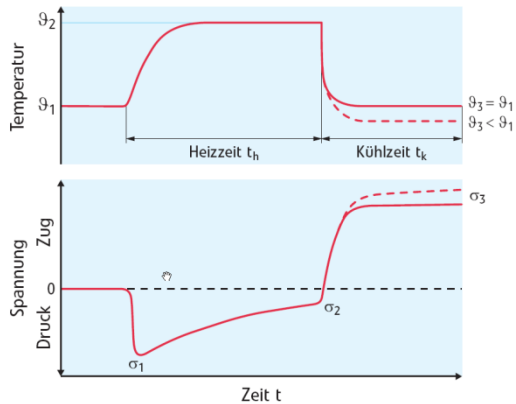
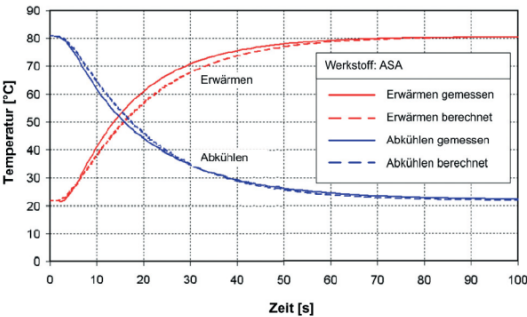
- Zusammenhänge analysieren, entscheidende Parameter erkennen
- Parametereinflüsse mit FEM-Variationen ermitteln
- Ggf. Versuche zur Verifizierung durchführen
- Erkannte Gesetzmässigkeiten mathematisch beschreiben
- Praktikable Berechnungsformeln entwickeln: Möglichst treffend, aber einfach
- ggf. Empfehlungen für die Gestaltung ausarbeiten



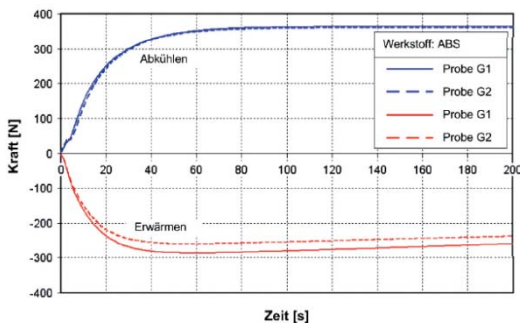
$$E_C(t) \approx E_{C0} \cdot \left[1 - \frac{1}{3} \cdot (1 - c_C) \cdot \log_{10} \left(\frac{t}{t_0} \right) \right]$$

$$E_C(t, \vartheta) \approx E_C(t, \vartheta_0) \cdot a_0^{\left(\frac{\vartheta}{\vartheta_0} - 1 \right)}$$

3. Werkstoffmechanik Wärmespannungen in Kunststoffteilen



© Kunststoffe



- „Uralte“ Problematik:
 - ◆ zeit- und temperaturabhängige Steifigkeit
 - ◆ temperaturabhängiges Wärmedehnverhalten
 - ◆ temperaturabhängige Relaxation der Wärmespannungen während ihres Entstehens

■ Theoretische Beschreibung:

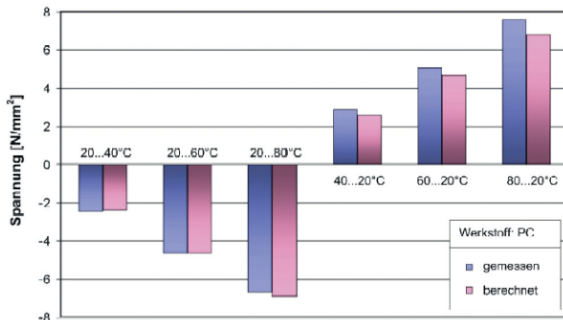
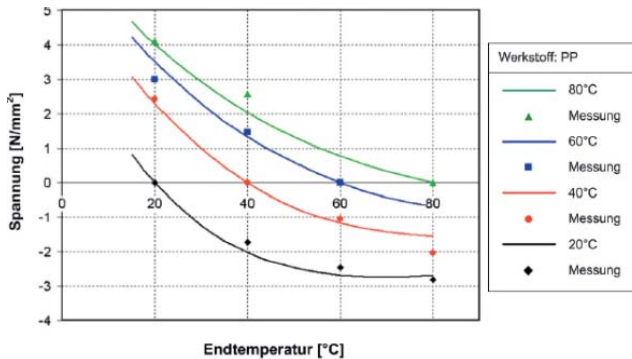
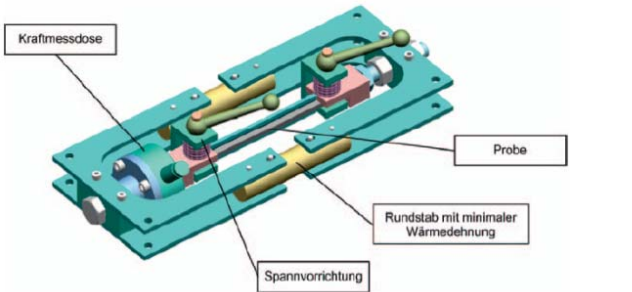
$$\sigma_{\vartheta} = - \int_{\vartheta_1}^{\vartheta_2} E[t, \vartheta(t)] \cdot \alpha[\vartheta(t)] \cdot d\vartheta$$

- ◆ Analytische Lösung des Integrals problematisch

■ Beobachtungen:

- ◆ Wärmespannungen beim Abkühlen (Zug) betragsmässig höher als beim Erwärmen (Druck) über die gleiche Temperaturdifferenz

3. Werkstoffmechanik Wärmespannungen in Kunststoffteilen



- Bisherige Näherungsmodelle: in Praxis nicht etabliert
- Entwicklung einer Berechnungsformel für die maximalen Spannungswerte bei schockartiger Temperaturänderung:

$$\sigma_g \approx -E_C(t^*, g^*) \cdot \alpha \cdot \Delta g$$

$$E_C(t^*, g^*) \approx E(g_R) \cdot a_0 \left(\frac{g^*}{g_R} - 1 \right) \cdot \left[1 - \frac{1}{3} \cdot (1 - c_C) \cdot \log_{10} \left(\frac{t^*}{t_0} \right) \right]$$

mit

$$\tau = \frac{c_p \cdot \rho \cdot d^2}{4 \cdot \lambda} \cdot \left(\frac{\pi}{2} - \frac{3,2}{\frac{\alpha_g \cdot d}{\lambda} + 2,5} \right)^{-2}$$

$t^* \approx 3 \cdot \tau$ für Erwärmung bzw. $t^* \approx 6 \cdot \tau$ für Abkühlung

$$g^* \approx \frac{1}{4} \cdot (g_{\max} + g_1 + 2 \cdot g_2)$$

3. Werkstoffmechanik Wärmespannungen in Kunststoffteilen

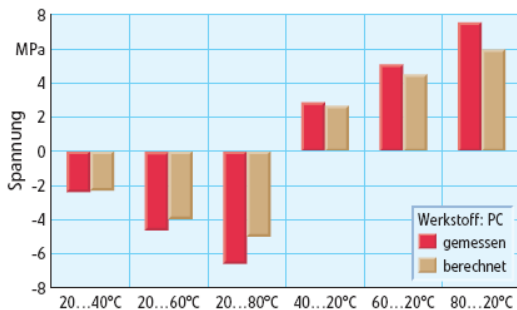
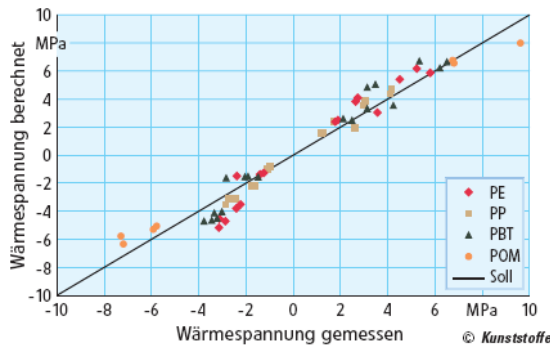
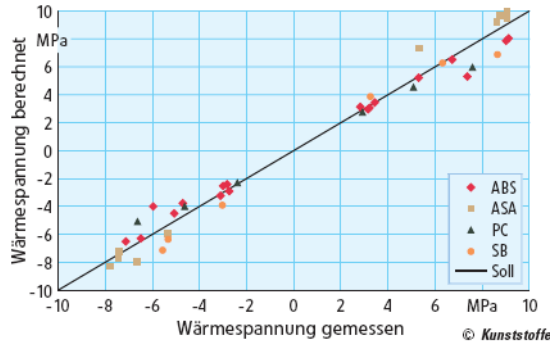
- Noch einfacher: Abschätzformel, angelehnt an Formel für konstante Werte von E und α

$$\sigma_g \approx -E \cdot \alpha \cdot \delta \cdot \Delta \vartheta = -E \cdot \alpha \cdot \delta_0 \left(\frac{\vartheta}{\vartheta_R} - 1 \right) \cdot (\vartheta - \vartheta_R)$$

- Basisgrösse δ_0 des empirisch bestimmten, temperaturabhängigen Einflussfaktors δ :

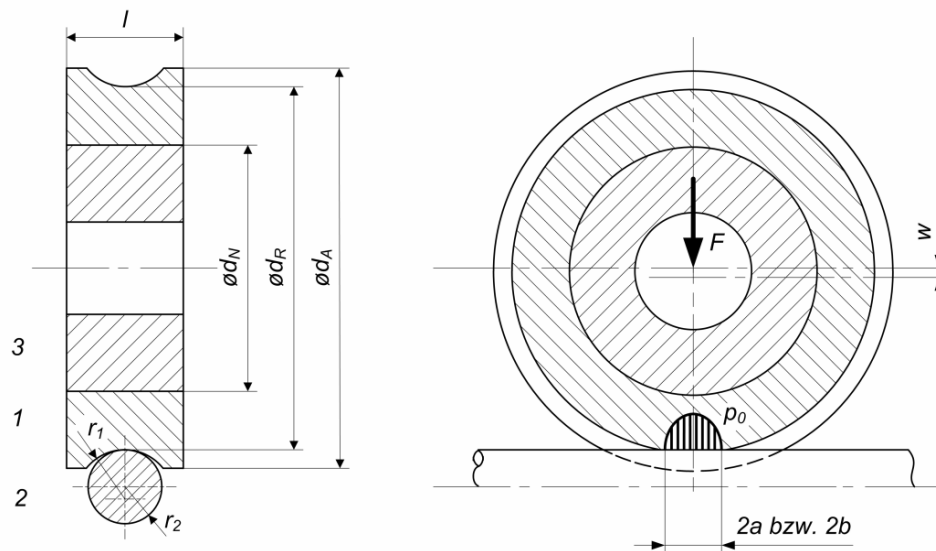
Werkstoffgruppe	Zahlenfaktor δ_0	
	Erwärmen	Abkühlen
Amorphe Thermoplaste	0,80	0,88
Teilkristalline Thermoplaste	0,61	0,71

- Gute Übereinstimmung mit Messergebnissen

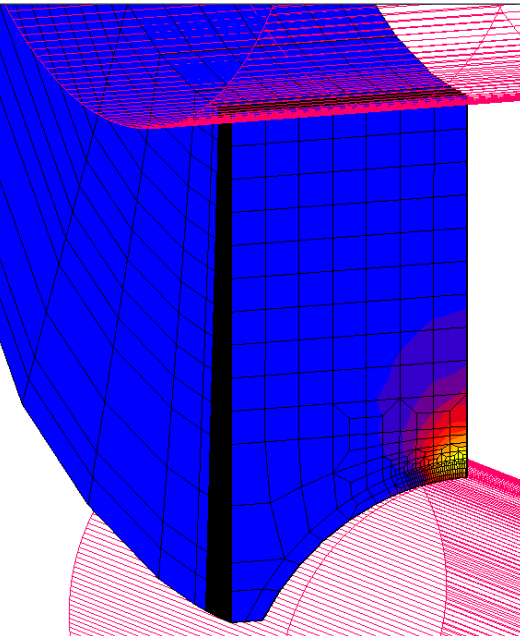


4. Kontaktmechanik von Kunststoffrollen Konkav profilierte Laufmantelrollen

- **Problemstellung:**
 - ◆ Berechnungsformeln aus der Hertzschen Theorie entweder bestätigen oder ggf. geeignet anpassen
 - ◆ Entwicklung einer optimierten Profilgeometrie für möglichst kleine Kontaktflächen
- **Situation:**
 - ◆ Allgemeine Punktberührung zwischen konkav profilierter Rolle und zylindrischer Unterlage



4. Kontaktmechanik von Kunststoffrollen Konkav profilierte Laufmantelrollen



■ Berechnungsformeln:

- ◆ Kontaktflächenabmessungen:

$$a \approx \frac{1,1}{(1-\eta^{0,6})^{0,4}} \cdot \sqrt[3]{\frac{F \cdot R_V}{E_V}} \quad b \approx 1,1 \cdot (1-\eta^{0,5})^{0,25} \cdot \sqrt[3]{\frac{F \cdot R_V}{E_V}}$$

- ◆ Maximaler Kontaktdruck:

$$p_0 \approx 0,388 \cdot (1-\eta^2)^{0,2} \cdot \sqrt[3]{\frac{F \cdot E_V^2}{R_V^2}}$$

- ◆ Abplattung:

$$w \approx 1,23 \cdot (1-\eta^2)^{0,23} \cdot \left(1 - 0,14 \cdot \frac{d_N}{d_R}\right) \cdot \left(1,07 - 0,13 \cdot \frac{l}{d_R}\right) \cdot \sqrt[3]{\frac{F^2}{E_V^2 \cdot R_V}}$$

- ◆ Maximale Dehnung:

$$\varepsilon_{\max} \approx 0,28 \cdot \frac{p_0}{E_C} \approx 0,11 \cdot (1-\eta^2)^{0,2} \cdot \frac{1}{E_C} \cdot \sqrt[3]{\frac{F \cdot E_V^2}{R_V^2}}$$

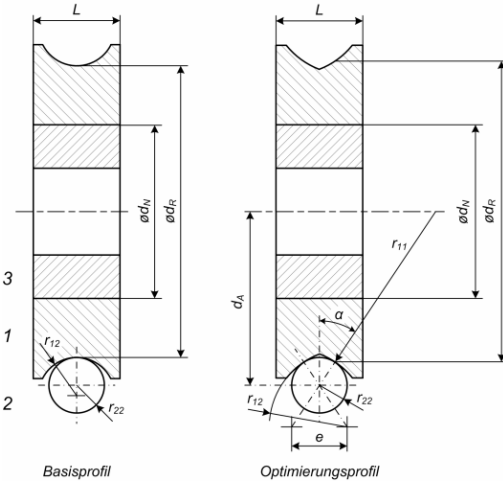
- ◆ Max. Vergleichsspannung (GEH, von Mises):

$$\sigma_{V \max} = \sigma_V \left(z \approx \frac{a \cdot b}{a + b} \right) \approx 0,645 \cdot p_0 = 0,25 \cdot (1-\eta^2)^{0,2} \cdot \sqrt[3]{\frac{F \cdot E_V^2}{R_V^2}}$$

$$E_V = 2 \cdot \frac{E_C \cdot E_L}{E_C + E_L} \quad R_V = \frac{2}{\frac{2}{d_R} - \frac{1}{r_1} + \frac{1}{r_2}}$$

$$\eta = \cos \theta = \frac{\left| \frac{2}{d_R} + \frac{1}{r_1} - \frac{1}{r_2} \right|}{\frac{2}{d_R} - \frac{1}{r_1} + \frac{1}{r_2}}$$

4. Kontaktmechanik von Kunststoffrollen Konkav profilierte Laufmantelrollen

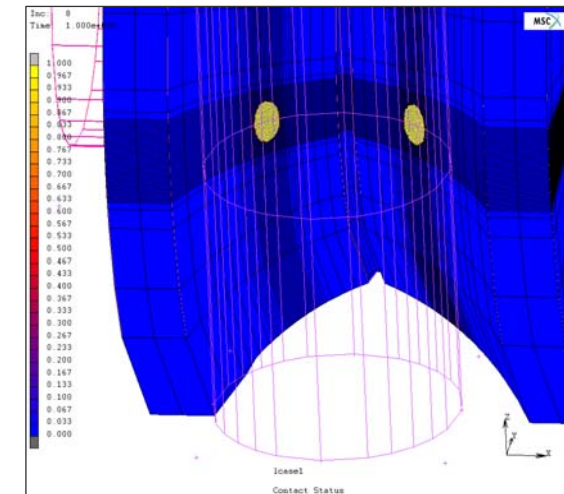
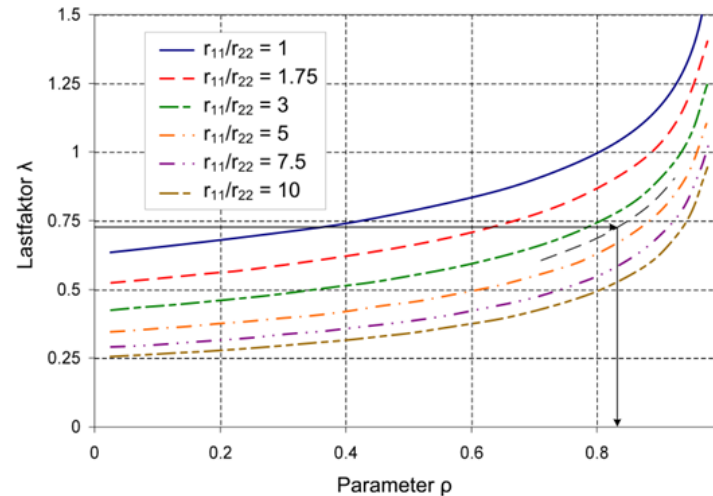
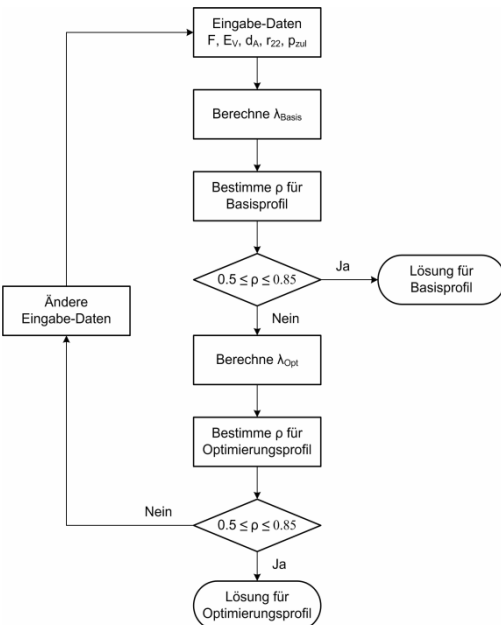


■ Profilloptimierung:

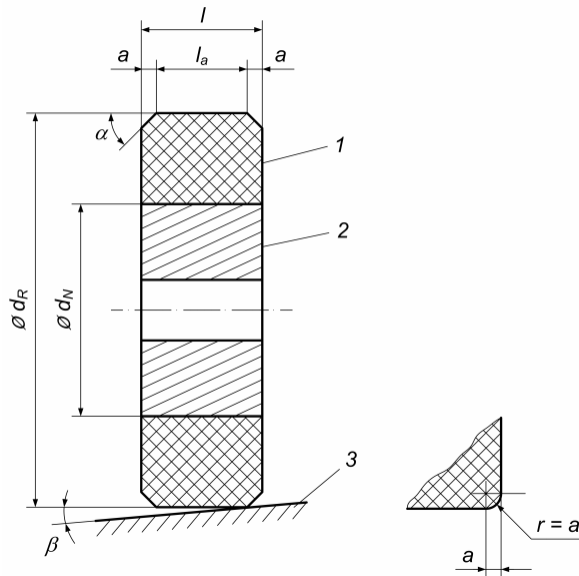
- ◆ Geringer Kontaktdruck: Grosse Kontaktfläche
- ◆ Geringer Schlupf und Rollwiderstand: Kleine Kontaktfläche

■ Ergebnis: Einfach handhabbare Prozedur

- ◆ Reduktion der Kontaktflächenabmessungen um 2 – 40 % bzw. 11 – 47 %
- ◆ Gesamtfläche: Zunahme um 0 bis 9 %



4. Kontaktmechanik von Kunststoffrollen Verkanten zylindrischer Laufmantelrollen



■ Problemstellung:

- ◆ Zylindrische Rollen auf ebener Unterlage: Theoretische Linienberührung
- ◆ Verkanten: bei
 - Unebenheiten der Unterlage
 - Nachgiebigkeit der
 - Ungenauigkeiten der Rollenlagerung
- ◆ Beim Verkanten: Theoretische Punktberührung mit komplexen Kontaktverhältnissen beim Übergang von Linien- zu Punktberührung

■ Lösungsversuch:

- ◆ Entwicklung von Näherungsfunktionen für die kontaktmechanischen Größen in Abhängigkeit des Verkantungswinkels β

4. Kontaktmechanik von Kunststoffrollen Verkanten zylindrischer Laufmantelrollen

■ Berechnungsformeln:

- ◆ Kontaktflächenabmessungen:

(noch keine praktikable Formel)

- ◆ Maximaler Kontaktdruck:

$$p_{\max} \approx p_0 \cdot \left\{ 1 + \left(\frac{E_V \cdot l_a}{F} \right)^{0,25} \cdot \left[4,7 + 10 \cdot \left(\frac{a}{d_R} \right)^{0,25} \right] \cdot \beta^{0,6} \right\}; \quad p_0 \approx 0,590 \cdot \sqrt{\frac{F \cdot E_V}{l_a \cdot d_R}}$$

- ◆ Abplattung:

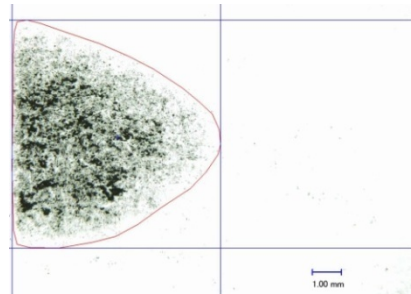
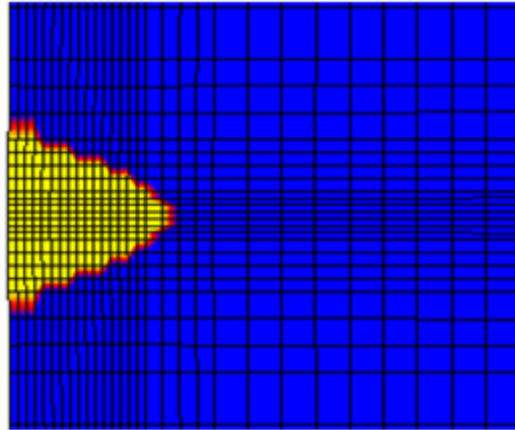
$$w \approx w_0 \cdot \left(1,2 - 0,65 \cdot \frac{d_N}{d_R} \right) \cdot \left(1 - 0,95 \cdot \frac{a}{l_a} \right) \cdot \left[1 + 0,016 \cdot \left(\frac{F}{E_V \cdot l_a^2} \right)^{-0,72} \cdot \left(1 - e^{-0,82 \cdot \beta} \right) \right]$$

- ◆ Maximale Dehnung:

$$\varepsilon_{\max} \approx \left[1 + 2,67 \cdot \left(\frac{a}{d_R} \right)^{0,2} \right] \cdot \left(\frac{F}{E_V \cdot d_R^2} \right)^{0,29} \cdot \left[0,08 \cdot \left(\frac{d_R}{l_a} \right)^{0,14} + 2,3 \cdot \beta^{0,6} \right]$$

- ◆ Max. Vergleichsspannung (GEH, von Mises)

$$\sigma_{V_{\max}} = p_{\max} \cdot \left[1,41 - 0,65 \cdot \left(1 - e^{-160 \cdot \beta} \right) \right]$$



$$E_V = 2 \cdot \frac{E_C \cdot E_L}{E_C + E_L}$$

$$w_0 \approx 5,7 \cdot \frac{F}{E_V \cdot l_a}$$

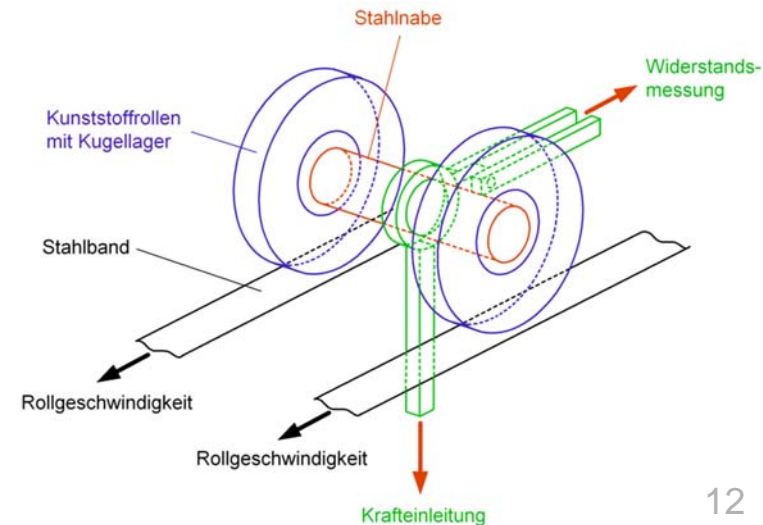
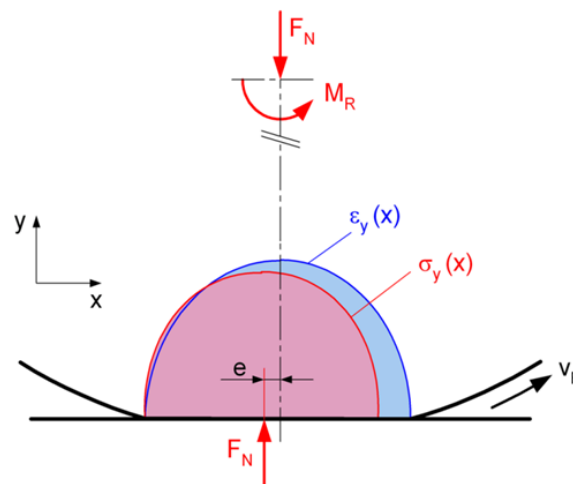
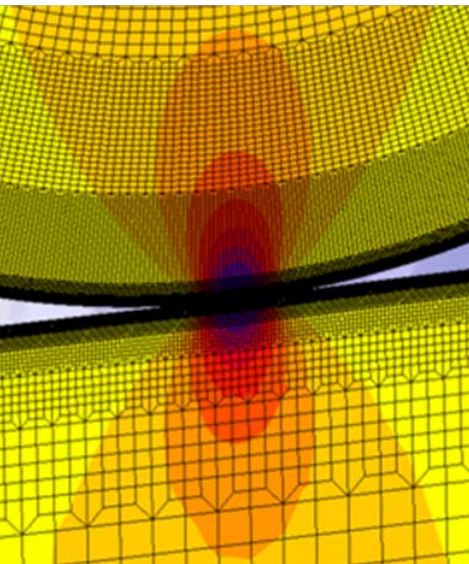
4. Kontaktmechanik von Kunststoffrollen Rollwiderstand von Kunststoff-Laufrollen

■ Aufgabe:

- ◆ Berechnung des Rollwiderstands von Kunststoffrollen mit FEM
- ◆ Entwicklung einer möglichst einfachen Formel für die Abschätzung des Rollwiderstands „von Hand“

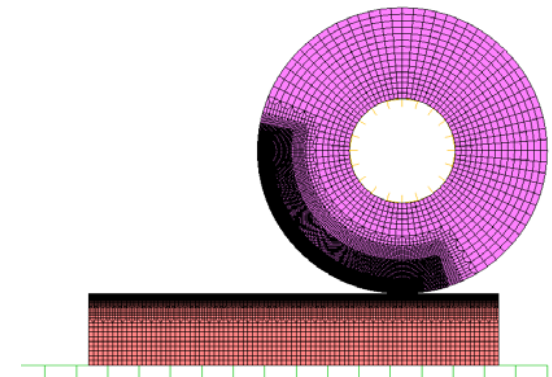
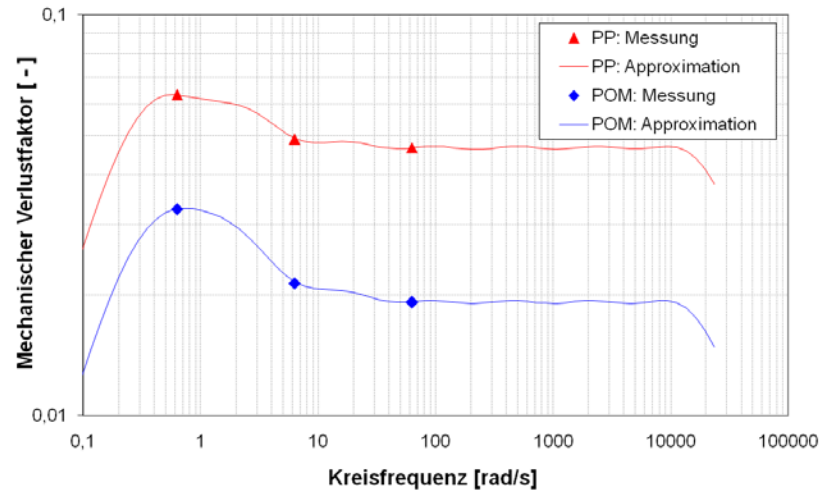
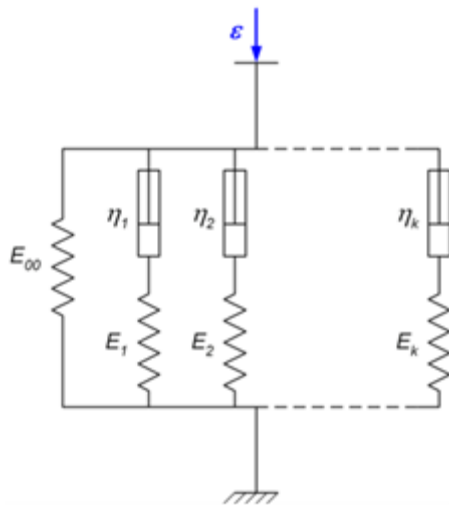
■ Probleme:

- ◆ Erfassung der Viskoelastizität im FEM Modell
- ◆ Bewältigung der grossen Datenmenge (extrem feine Vernetzung)



4. Kontaktmechanik von Kunststoffrollen Rollwiderstand

- FEM-Ergebnisse:
 - ◆ FEM-Berechnung möglich, jedoch sehr aufwändig:
 - 17-Parameter Maxwell-Materialmodell für die Viskoelastizität
 - Modellierung des Rollvorgangs
 - rund 10^4 bis 10^5 z.T. extrem kleine Elemente für ein 2D-Modell, d.h. Beschränkung auf zylindrische Rollen
 - Räumlich gekrümmte Rollenprofile erfordern 3D-Modelle: noch aufwändiger
 - ◆ Akzeptable Übereinstimmung mit Versuchsergebnissen



4. Kontaktmechanik von Kunststoffrollen

Rollwiderstand von Kunststoff-Laufrollen

Dank für Unterstützung:

▪Versuche:
Denipro AG, Weinfeldern

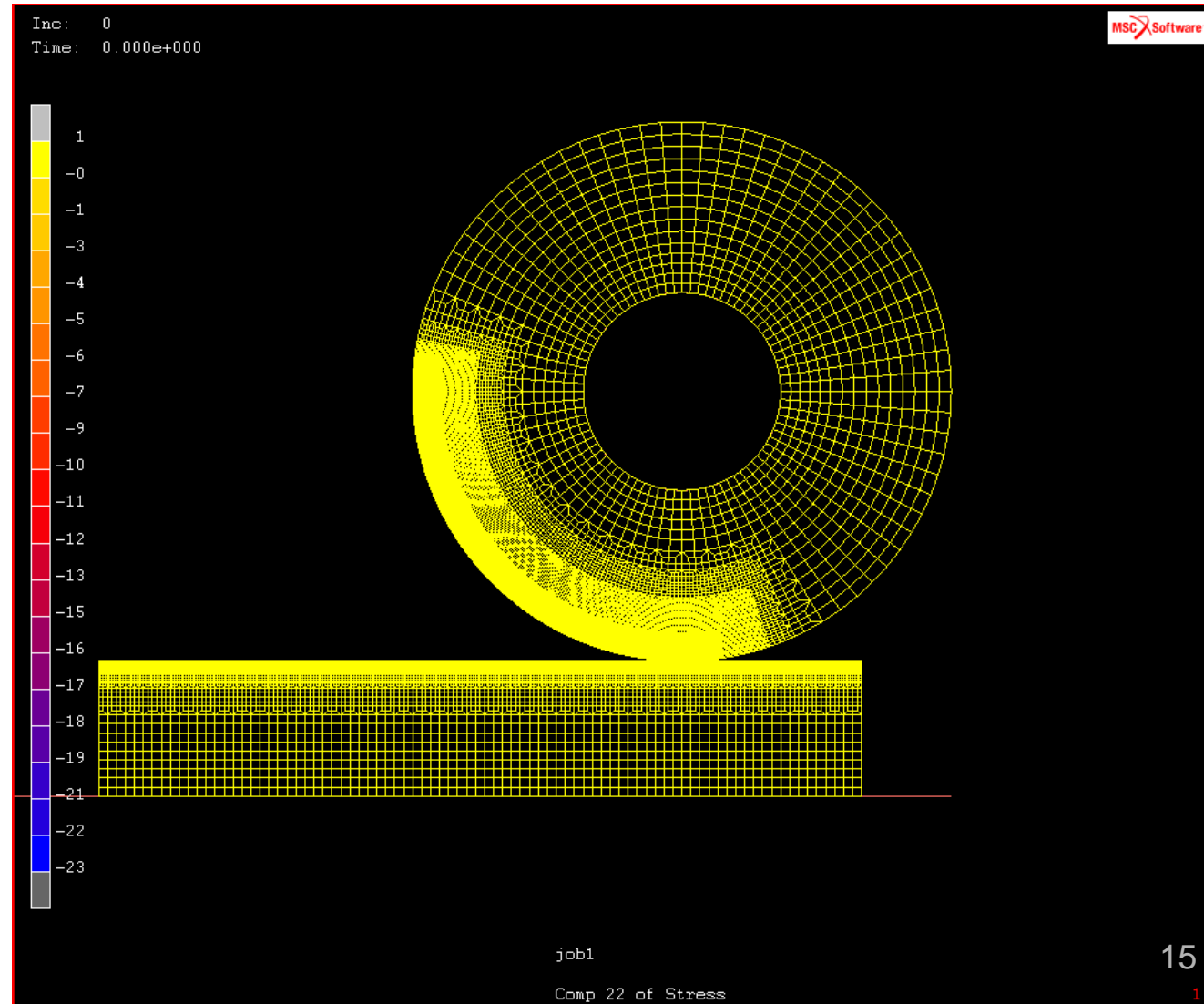
denipro...

Unternehmen für fördertechnische Teile und Komponentenbau

▪Dynamische Werkstoffdaten:
IKT Institut für Kunststoff-
technik (FHNW)
Brugg-Windisch

n|w Fachhochschule Nordwestschweiz
Hochschule für Technik

Hochschule für Technik
Institut für Kunststofftechnik



4. Kontaktmechanik von Kunststoffrollen Rollwiderstand von Kunststoff-Laufrollen

■ Rechenmodell:

- ◆ Näherungsformel für Handrechnungen:

$$M_R \approx 0,68 \cdot \tan \delta_V \cdot F \cdot b \approx 0,49 \cdot \tan \delta_V \cdot F \cdot \sqrt{\frac{F \cdot R_V}{l_a \cdot E_V}}$$

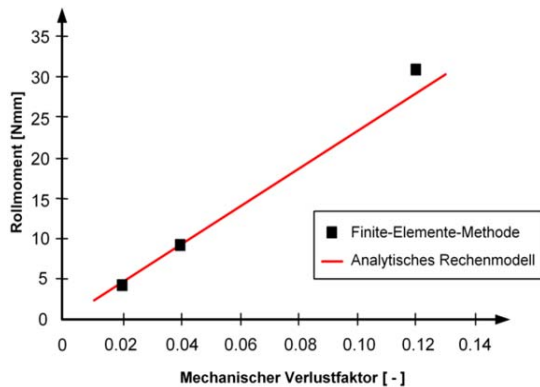
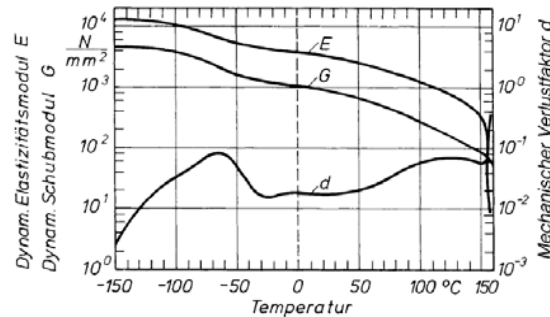
- ◆ Werkstoffeigenschaften:

erfasst durch die mechanischen Verlustfaktoren und die Elastizitätsmoduln der Werkstoffe von Rolle und Unterlage

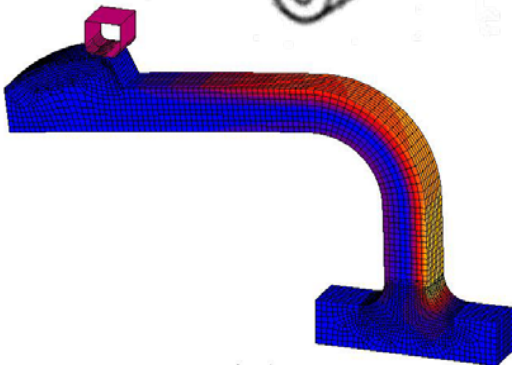
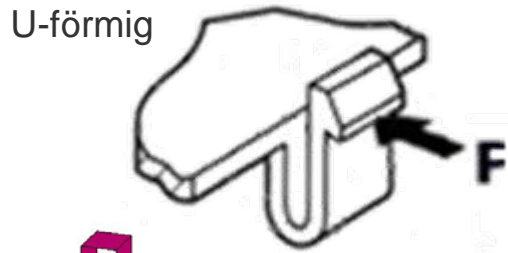
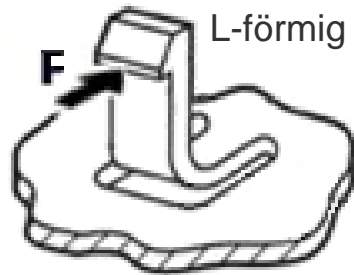
$$\tan \delta_V = \frac{\tan \delta_U \cdot E'_R + \tan \delta_R \cdot E'_U}{E'_R + E'_U} \approx \frac{\tan \delta_U \cdot E_R + \tan \delta_R \cdot E_U}{E_R + E_U}$$

$$E_V = 2 \cdot \frac{E_R \cdot E_U}{E_R + E_U}$$

$$R_V = \frac{R_R \cdot R_U}{R_R + R_U} = \frac{d_R \cdot R_U}{d_R + 2 \cdot R_U}$$



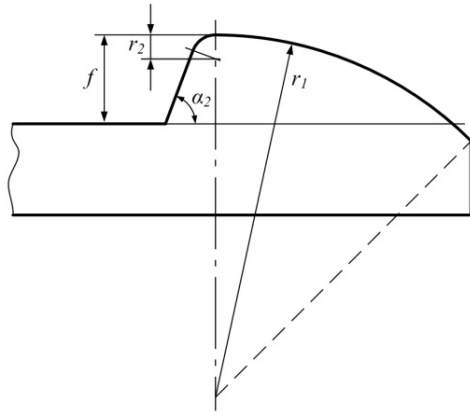
5. Schnappverbindungen Fügeverhalten gekröpfter Schnapphaken



1000e1
Principal Total Strain Max

- Ausgangslage:
 - ◆ Bekannte Berechnungsformeln wenig wirklichkeitsnah
 - ◆ Fügegeometrie normalerweise unzweckmässig
- Problemstellung:
 - ◆ Erarbeitung von Formeln für die realistische Berechnung von Füge- und Lösekraft
 - ◆ Entwicklung einer optimierten Fügegeometrie für minimale Fügekraft
- Erkenntnisse:
 - ◆ Kerbwirkung wie beim geraden Schnapphaken
 - ◆ Optimierte Fügegeometrie analog zum geraden Schnapphaken
 - ◆ Füge- und Lösekraft formelmässig erfassbar

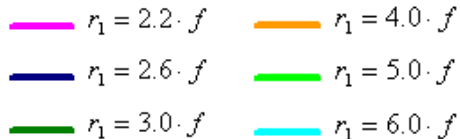
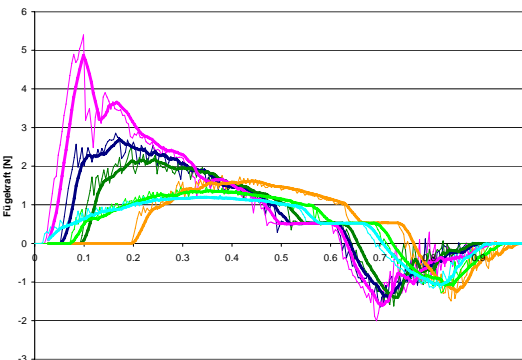
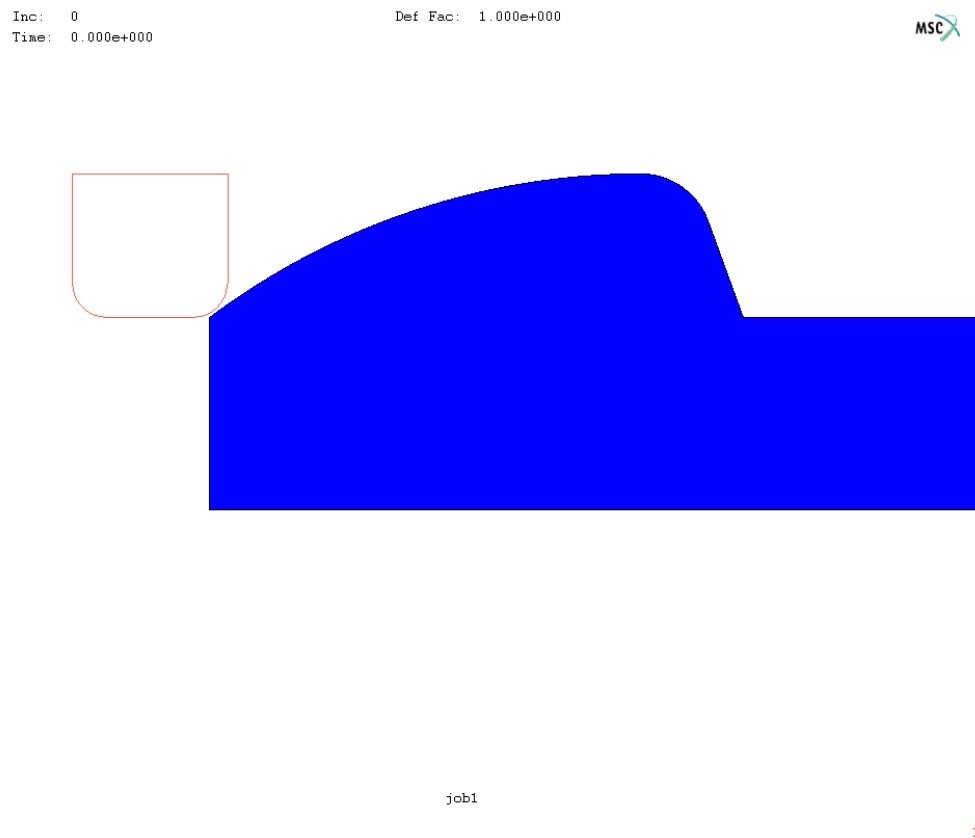
5. Schnappverbindungen Fügeverhalten gekröpfter Schnapphaken



Empfohlenes Verhältnis:

$$4,0 \leq r_1 / f \leq 6,0$$

- Optimierte Fügegeometrie:
 Praktisch konstanter Fügewinkel bewirkt
 Fügekraftreduktion um 70 bis 75 %



5. Schnappverbindungen

Fügeverhalten gekröpfter Schnapphaken

L-förmig gekröpfte Schnapphaken:

- Auslenkkraft, mit dem Satz von Castigliano

$$F = \frac{12 \cdot E \cdot I \cdot f_F}{4 \cdot l_F^3 + 3 \cdot r_3 \cdot (2 \cdot \pi \cdot l_F^2 + \pi \cdot r_3^2 + 8 \cdot r_3 \cdot l_F) + 12 \cdot l_2 \cdot (l_F + r_3)^2}$$

- Fügekraft

- ◆ Theoretisch:

$$F_1 = \eta_1 \cdot F$$

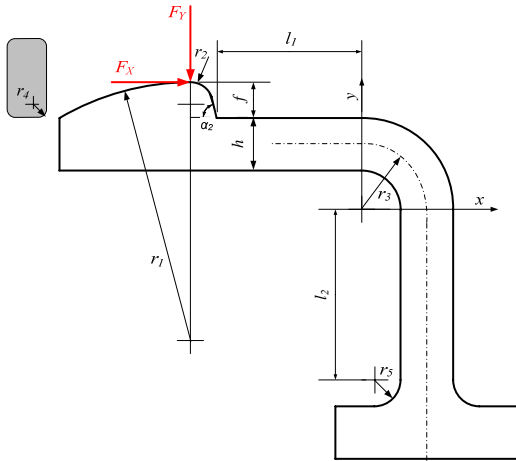
- ◆ Praktisch:

$$F_1 \approx \eta_1 \cdot F \cdot \left[-0,2 \cdot \left(\frac{r_3}{l_1} \right)^{0,7} + 1 \right] \cdot \left[10,0 \cdot \left(\frac{l_2}{l_1} \right)^{3,5} + 1 \right]$$

- Lösekraft

- ◆ Praktisch:

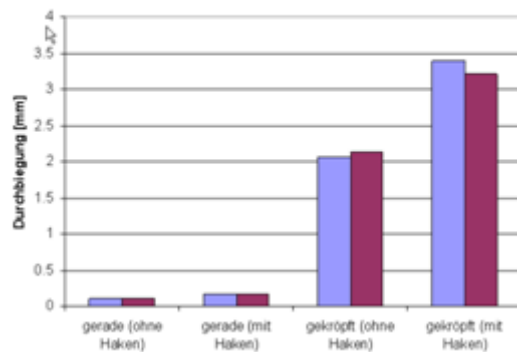
$$F_2 \approx \eta_2 \cdot \sqrt{\cos(\alpha_2)} \cdot F \cdot \left[-0,2 \cdot \left(\frac{r_3}{l_1} \right)^{0,1} + 1 \right] \cdot \left[-2,0 \cdot \left(\frac{l_2}{l_1} \right)^{1,5} + 1 \right]$$



$$\eta_1 = \frac{\mu_0 + \tan(\alpha_1 + \varphi_1)}{1 - \mu_0 \cdot \tan(\alpha_1 + \varphi_1)}$$

$$\eta_2 = \frac{\mu_0 + \tan(\alpha_2 - \varphi_2)}{1 - \mu_0 \cdot \tan(\alpha_2 - \varphi_2)}$$

Vergleich: Handrechnung und FEM-Analyse



6. Schlussbetrachtungen

- **Fazit der letzten 2 Jahre** (September 2007 – August 2009)
 - ◆ 7 abgeschlossene Arbeiten publiziert, 3 Arbeiten vor Publikation
 - ◆ Ergebnisse in Projekten mit der Industrie erfolgreich genutzt
- **Ausblick**
 - ◆ pendente Arbeiten abschliessen
 - ◆ Ideen und Anregungen für weitere Arbeiten sind vorhanden ...
- **Dank**
 - ◆ der Schulleitung der HSR und der IWK-Institutsleitung für die Förderung des aF+E-Projekts
 - ◆ den jungen aktiven und ehemaligen Mitarbeitern des IWK für die anregende Zusammenarbeit



Herzlichen Dank für Ihre Aufmerksamkeit ...



Prof. Dipl.-Ing. Johannes Kunz
+41 (0)55 222 49 85
jkunz@hsr.ch